

# «مجله علمی علوم و فنون سازنگی»

سال سوم، شماره ۲، تابستان ۱۴۰۳، صفحه ۳۳ الی ۴۷

## علمی- تخصصی

### طراحی و ساخت نمونه کنترلرهای آبیاری هوشمند ارزان قیمت مبتنی بر اینترنت اشیاء

\* مجید مهدی پور<sup>۱</sup>

۱- کارشناسی ارشد معاونت فنی هلدینگ فناوری اطلاعات و ارتباطات

(دریافت: ۱۴۰۰/۰۸/۱۷، پذیرش: ۱۴۰۰/۰۲/۰۵)

## چکیده

در این مقاله یک سامانه هوشمند به منظور کنترل فرآیند آبیاری مبتنی بر اینترنت اشیاء ارائه شده است. در سامانه مورد نظر اطلاعات سنسورها به صورت بی سیم از دستگاه‌های انتهایی (نودها) که به صورت پراکنده در محیط قرار گرفته‌اند جمع‌آوری می‌شوند. مشاهده‌ی اطلاعات و اعمال فرمان نیز از بستر اینترنت امکان‌پذیر است. یکی از مزایای مهم این سامانه با توجه به استفاده از فناوری لورا، افزایش برد عملیاتی سامانه به بیش از ۲ km و جریان مصرفی بسیار کم مازول فرستنده/گیرنده (۲/۰۰A) در حالت آماده به کار) است. مزیت دیگر آن امکان کنترل هوشمند سامانه به صورت خودکار بر اساس اطلاعات دریافتی از سنسورهای محیطی و تغذیه دستگاه انتهایی به کمک باتری و پنل خورشیدی است. بخش‌های مختلف سامانه از جمله دستگاه انتهایی، عملگر، گذرگاه و سرور به طور کامل طراحی و پیاده‌سازی شده است. عملکرد دستگاه انتهایی، ارسال فرمان به عملگر، ارسال اطلاعات سنسورها به گذرگاه، بارگذاری اطلاعات به وسیله‌ی گذرگاه روی سرور و نمایش آن و برد عملیاتی سامانه با موفقیت مورد آزمایش قرار گرفتند.

**واژگان کلیدی:** اینترنت اشیاء، فناوری لورا، کنترل هوشمند آبیاری

در مرجع (Kelly et al., 2013) از اینترنت اشیاء برای نظارت منظم بر شرایط محیطی خانه با استفاده از سامانه‌های سنجش ارزان قیمت، استفاده شده است. این مرجع به معناری یک شبکه-ی یکپارچه و روش‌های اتصال، برای اندازه‌گیری قابل اعتماد پارامترها توسط سنسورها و انتقال داده‌ها با استفاده از اینترنت، پرداخته است. در اینجا از فناوری شبکه‌های حسگر بی سیم و Sanchez et al., مازول ZigBee استفاده شده است. مرجع (2014) استقرار و آزمایش فناوری اینترنت اشیاء را در یک شهر بررسی می‌کند و این پروژه برنامه‌های کاربردی و خدمات شهر هوشمند را نیز پشتیبانی می‌کند. همچنین طراحی اینترنت اشیاء در مقیاس بزرگ شرح داده شده است. در (Zhu et al., 2010) یک دروازه‌ی اینترنت اشیاء برمبنای مازول ZigBee و پروتکل GPRS برای کاربردهای معمول اینترنت اشیاء معرفی شده و تبادل داده بین شبکه‌ی سنسورهای بی سیم و شبکه‌های ارتباطی موبایل و فرآیند تبدیل پروتکل‌ها شرح داده شده است. در (Robles et al., 2015) بر مبنای جایابی و ارتباط اشیاء برای هدفِ معناری یکپارچه کنترل فرآیند، به کمک تلفیق فناوری‌های اینترنت اشیاء، هماهنگی فرآیند عرضه و تقاضا و سامانه‌های تصمیم‌گیری، یک مدل مدیریت هوشمند آب معرفی شده است. در این مرجع یک ستاربیوی مدیریت آب شرح داده شده اما نحوه‌ی پیاده‌سازی کامل سامانه مدیریت آب و بخش‌های مختلف آن بررسی نشده است. در مرجع Rajalakshmi and Mahalakshmi, 2016) یک سامانه نظارت

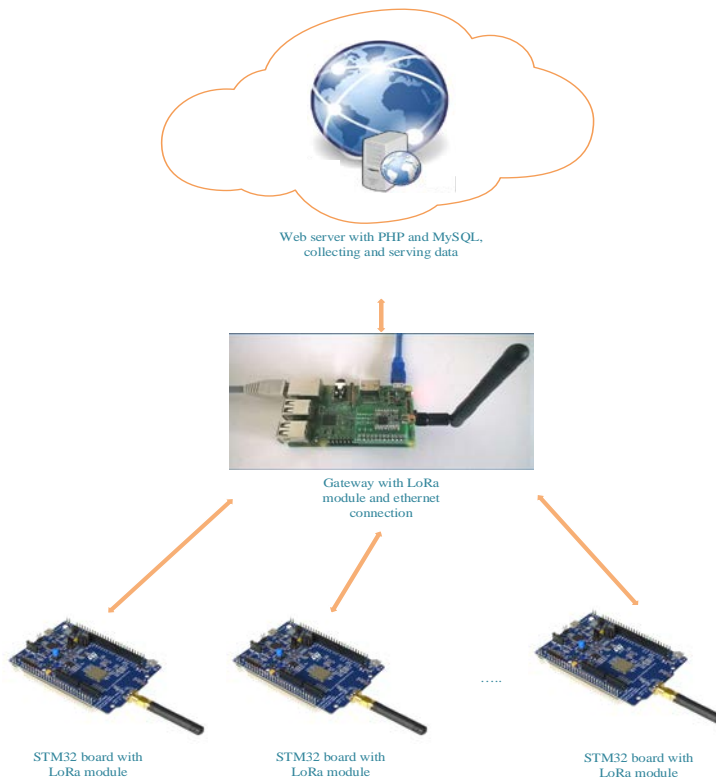
## ۱- مقدمه

اینترنت اشیاء در واقع یک شبکه محلی یا جهانی از اشیائی است که می‌تواند با یکدیگر ارتباط برقرار کنند. در سامانه از فناوری‌ها و روش‌های معرفی شده در اینترنت اشیاء استفاده خواهد شد. اجزا به صورت توپولوژی ستاره قرار خواهند گرفت و اطلاعات به مرکز کنترل (سرور) هدایت شده و فرآیند پایش داده‌ها و تصمیم گیری انجام شده و در نهایت فرمان متناسب با داده‌های دریافتی اعمال می‌شود. سرور باید همواره از طریق اینترنت قابل دسترسی باشد و بتوان در هر ساعت از شبانه‌روز داده‌ها را در پایگاه داده‌ی سرور ذخیره نمود و کاربر با ارسال درخواست به سرور داده‌ها را مشاهده نماید. شکل (۱) ساختار سامانه‌ی آبیاری هوشمند را نشان می‌دهد.

یکی از بهترین روش‌های دسترسی به داده‌های سنسورها، بدون نیاز به سیم‌کشی و مصرف توان و هزینه‌ی زیاد، ارسال اطلاعات با تراشه‌ها و تجهیزات مخابراتی کم‌صرف و استفاده از پنل خورشیدی و باتری است. برای این منظور از تراشه arm stm32 به عنوان پردازنده‌ی دستگاه انتهایی و تراشه‌های فناوری لورا به عنوان فرستنده‌ی مخابراتی استفاده شده است.

بزرگ مناسب نیست. مرجع (Masaba et al., 2016) نیز تنها به بررسی یک مجموعه کوچک پرداخته است و برای پیاده‌سازی سامانه مدیریت آبیاری از مژول Bluetooth و میکروکنترلر PIC16F887 استفاده کرده است.

آبیاری با استفاده از حسگرهای دما و رطوبت طراحی و پیاده‌سازی شده است. داده‌های سنسورها به وبسرور ارسال می‌شوند و امکان نظارت از راه دور بر کل سامانه وجود دارد. روش این مرجع تنها مناسب آبیاری خانگی است و برای یک مجموعه‌ی



شکل (۱). ساختار سامانه‌ی آبیاری هوشمند

## ۲- مطالعات طراحی سامانه

در این بخش به قسمتی از مطالعات مرتبط با نودها(بخش مرتبط با سنسورها و عملگرها) و گذرگاه پرداخته می‌شود. پس از مطالعه بر روی تجهیزات و فناوری‌های روز، تجهیزات و فناوری‌ها مورد استفاده انتخاب خواهند شد و فرآیند اجرای سامانه توسط آنها مورد بررسی قرار می‌گیرد.

### ۲-۱- انتخاب روش تبادل داده‌ی بی‌سیم

جدول (۱) روش‌های متفاوت تبادل داده‌ی بی‌سیم را مورد بررسی قرار می‌دهد. با توجه به وسعت زمین کشاورزی و نیاز به برد بالا، استفاده از فناوری لورا یکی از مناسب‌ترین گزینه‌ها برای تبادل داده بی‌سیم است. این فناوری تاکنون در بسیاری از کاربردهای اینترنت اشیاء مورد استفاده قرار گرفته و به سرعت در حال گسترش است.

با توجه به جدید بودن فناوری اینترنت اشیاء به خصوص در حوزه‌ی مدیریت منابع آب، روش‌هایی که تاکنون در مراجع مختلف ارائه شده‌اند مناسب یک مجموعه‌ی بزرگ نیستند. در تحقیقاتی که تاکنون صورت گرفته به بخش‌هایی از نحوه‌ی استفاده از اینترنت اشیاء به خصوص در مدیریت آب اشاره شده است اما خلاصه یک سامانه هوشمندی که بتواند نیازهای یک مجموعه‌ی واقعی را با هزینه‌ی کم تا حد مناسبی پوشش دهد و قابلیت توسعه داشته باشد احساس می‌شود. جنبه‌ی نوینی که در اینجا مدنظر قرار دارد بررسی جدیدترین فناوری‌ها و مژول‌ها در زمینه‌ی اینترنت اشیاء و به دست آوردن یکی از مناسب‌ترین روش‌های ممکن و پیاده‌سازی آن است به گونه‌ای که سامانه کنترل هوشمند معرفی شده قابل توسعه و ارزان باشد.

جدول (۱). روش‌های متفاوت تبادل داده در فناوری اینترنت اشیاء

نرخ انتقال داده	توان مصرفی	متوسط هزینه‌ی هر مازول	بود	فرکانس کاری	استاندارد	نوع فناوری ارتباط بی‌سیم
۳۰۰ Kbps	کم	۱۰\$	Up to ۱۵Km	۱۳۷-۱۰۲۰ MHZ	LoRaWAN	LoRa
۱Mbps	کم	۱۰\$	۵۰-۱۵۰ m	۲,۴GHz	Bluetooth 4.2 core specification	Bluetooth
۲۵۰ Kbps	کم	۲۵\$	۱۰-۱۰۰ m	۲,۴GHz	ZigBee 3.0 based on IEEE802.15.4	Zigbee
۶۰۰ Mbps maximum	زیاد	۹\$	۵۰m	۲,۴GHz و ۵GHz	Based on 802.11n	WiFi
۳۵-۱۷۰ kps (GPRS), -۱۲۰ ۳۸۴kbps (EDGE), ۳۸۴Kbps-۲Mbps (UMTS), ۶۰۰-kbps- ۱۰ Mbps (HSPA), ۳-۱۰ Mbps (LTE)	زیاد	۳۰\$	۳۵km max for GSM; ۲۰۰ km max for HSPA	۹۰۰/۱۸۰۰/۱۹۰۰/ ۲۱۰۰ MHz	GSM/GPRS/EDGE (2G), UMTS/HSPA (3G), LTE (4G)	Cellular
۱۰۰-۴۲۰ Kbps	کم	۱۰\$	۱۰cm	۱۳/۵۶MHz	ISO/IEC 18000-3	NFC

مشاهده می‌شود که میکروکنترلرهای ARM از نظر سرعت، امکانات جانبی، قیمت و مصرف توان از سایر میکروکنترلرها برتر هستند.

### ۳-۲-انتخاب رایانه کوچک برای بخش گذرگاه

جدول (۳) ویژگی‌های انواع بردهای قابل استفاده را نشان می‌دهد. این بردها جدیدترین بردهای موجود و مناسب برای اینترنت اشیاء اند. با توجه به قیمت و امکانات ارتباطاتی، بهترین بردهای موجود Beaglebone و Raspberry Pi 3 model B و Raspberry Pi 3 model B+ Black اند.

بردهای معرفی شده دارای سیستم عامل لینوکس هستند؛ به همین دلیل برای ایجاد ارتباط با سرور در بستر اینترنت مناسب اند. در اینجا از Raspberry pi 3 در نقش کلاینت<sup>۵</sup> با سرور ارتباط برقرار می‌کند. برای ارتباط کلاینت با سرور از رابط برنامه‌نویسی نرم‌افزار<sup>۶</sup> استفاده می‌شود.

فرستنده‌های لورا<sup>۱</sup> (LoRa) توسط شرکت SEMTECH برای کاربردهای تجاری توسعه داده شده اند. لورا مدولاسیون طیف گستردگی است که برای CSS<sup>۲</sup> ساخته شده است که برد بیشتری از سامانه‌های ساخته شده براساس مدولاسیون‌های FSK و OOK فراهم می‌کند. اکنون تراشه‌های فرستنده‌ی SX1276/77/78/79 با فرکانس‌های کاری مختلف موجود می‌باشند که ارتباطات از نوع طیف گستردگی<sup>۳</sup> لورا با توان مصرف‌پذیر و تداخل<sup>۴</sup> کم را فراهم می‌کنند. شبکه لورا در باندهای فرکانسی که نیاز به مجوز ندارند (ISM) کار می‌کند.

### ۲-۲-انتخاب میکروکنترلر

با توجه به تنوع میکروکنترلرهای موجود ابتدا باید به بررسی انواع میکروکنترلرها پرداخت. جدول (۲) به مقایسه‌ی میکروکنترلرهای موجود می‌پردازد.

<sup>۱</sup> Long Range Low Power

<sup>۲</sup> Chirp Spread Spectrum

<sup>۳</sup> Spread spectrum

<sup>۴</sup> Interference

<sup>۵</sup> Client

<sup>۶</sup> Application Programming Interface

جدول (۲). مقایسه انواع میکروکنترلرها

ARM	AVR	PIC	8051	
۶۴/۳۲ بیت	۳۲/۸ بیت	۳۲/۱۶/۸ بیت	۸ بیت	پهنهای باس
UART, USART, LIN, I2C, SPI, CAN, USB, Ethernet, I2S, SAI (serial audio interface), IrDA	UART, USART, SPI, I2C, CAN, USB, Ethernet	PIC, USART, LIN, CAN, Ethernet, SPI, I2S	UART, USART, SPI, I2C	پروتکل های ارتباطی
1 clock/ instruction cycle	1clock/ instruction cycle	4Clock/instruction cycle	12Clock/instruction cycle	سرعت
Flash, SDRAM, EEPROM	Flash, SRAM, EEPROM	SRAM, FLASH	ROM, SRAM, FLASH	حافظه
RISC	RISC	RISC	CLSC	معماری
کم	کم	کم	متوسط	صرف توان
ARMv4,5,6,7	Tiny, Atmega, Xmega	PIC16,PIC17, PIC18, PIC24, PIC32, dsPIC	۸۰۵۱ انواع	خانواده ها
TI, NXP, ST	Atmel	Microchip Average	NXP, Atmel, Silicon Labs, Dallas, Cypress, Infineon	سازنده
کم	کم	متوسط	خیلی کم	قیمت

جدول (۳). انواع رایانه های کوچک مناسب بخش گذرگاه

Intel IoT development kit	Beaglebone Black	Raspberry Pi 3 model B+	Arduino YÚN REV 2	
۲۴۹\$	۵۲\$	۴۹\$	۵۹\$	قیمت
۲ GB LPDDR4	۵۱۲MB DDR3	۱GB LPDDR2	۶۴ MB DDR2	حافظه رم
۴۰ pin	۲x ۴۶ pin	۴۰ pin	۳۹ pin	GPIO
Intel Celeron dual core at 1.10 GHz	AM335x 1GHz	Cortex-A53 (ARMv8) 64-bit 1.4GHz	Atheros AR9331 400 MHz	پردازندۀ
2x GbE Realtek RTL8111G Ethernet	Wi-Fi 802.11b/g/n 2.4GHz and Bluetooth 4.1 LE	2.4GHz and 5GHz IEEE 802.11.b/g/n/ac wireless LAN, Bluetooth 4.2, BLE, Ethernet	Ethernet 802.3 10/100Mbit/s, WiFi 802.11b/g/n 2.4 GHz	شبکه
۵V	۳,۳V	۵V	۵V	ولتاژ ورودی
۳۲ GB eMMC	۴GB 8-bit eMMC	MicroSDHC slot	۱۶ MB	حافظه flash
۴ USB ۲.۰	۴ USB ۲.۰	۴ USB ۲.۰	۱ USB ۲.۰	USB
Ubuntu	Debian Android Ubuntu	Android Windows 10 IoT Linux	Linux	سیستم عامل

نمود. HTML پایه اصلی صفحات وب است و CSS عناصر ظاهری را تعریف میکند. در این سامانه نیاز به یک وب سرویس پویا است که امکان تعامل با آن و انتقال اطلاعات دوطرفه با آن وجود داشته باشد که برای این هدف نیاز به زبان های برنامه نویسی سمت سرور است. در سامانه های طراحی شده از زبان PHP که یکی از پر کاربرد ترین زبان های سمت سرور می باشد، استفاده شده است.

#### ۴-۲- برنامه نویسی سمت سرور

فرآیند طراحی وب سرویس دارای دو بخش Front-end و Back-end است. برای طراحی بخش Front-end یا رابط کاربری باید از زبان های <sup>۱</sup>HTML و <sup>۲</sup>CSS استفاده نمود. با این زبان های برنامه نویسی تنها میتوان یک صفحه ایستا را طراحی

<sup>۱</sup> HyperText Markup Language  
<sup>۲</sup> Cascading Style Sheets

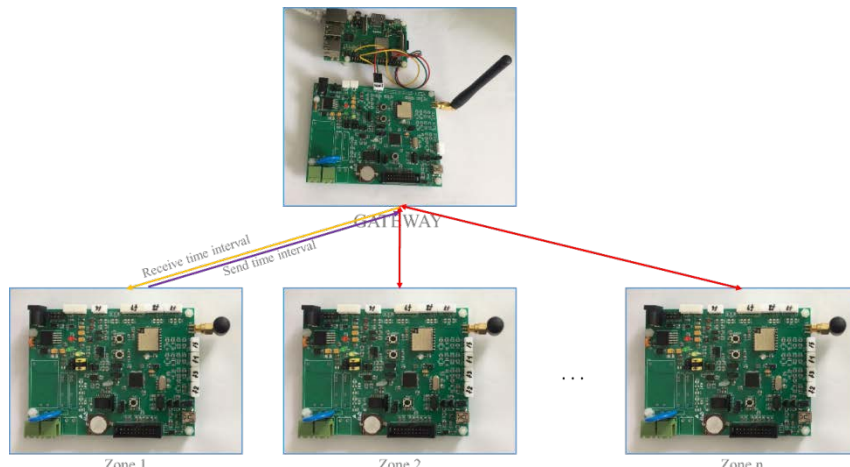
۱.۴GHz است، استفاده شده است. این برد دارای سیستم عامل Linux، پورت‌های USB و Ethernet، ۱GB DDR2 حافظه‌ی رم و با ابعادی در حدود یک کارت اعتباری است. شکل (۲) رایانه کوچک گذرگاه را نشان می‌دهد.



شکل (۲). رایانه کوچک گذرگاه

فرمت json و تبدیل این داده‌ها به آرایه استفاده شده‌اند. شکل (۳) نحوه قرار گیری گذرگاه و دستگاه‌های انتهایی را نشان می‌دهد.

به منظور بالا بردن سرعت عملکرد، کدهای Raspberry pi به زبان c++ نوشته شده‌اند. کتابخانه curl برای اتصال به اینترنت و کتابخانه json برای ترجمه‌ی داده‌های دریافتی از سرور در



شکل (۳). نحوه قرار گیری گذرگاه و دستگاه‌های انتهایی

### ۳-۳- برنامه‌نویسی و روش عملکرد دستگاه انتهایی(نود)

در بخش نود میکروی STM32 به کمک ارتباط spi با مژول لورا ارتباط برقرار می‌کند. مژول لورا با فرکانس کاری ۴۳۳ مگاهرتز اطلاعات را به مژول لورایی که در گذرگاه قرار دارد می‌فرستد. ارسال اطلاعات سنسورها در بازه‌های زمانی مورد نیاز صورت می‌گیرد. شکل (۴) نحوه عملکرد کلی دستگاه انتهایی را نشان می‌دهد.

### ۲-۳- برنامه نویسی برد متصل به Raspberry در گذرگاه

این برد به کمک ارتباط سریال با Raspberry pi در ارتباط است. به دلیل این‌که Raspberry دارای سیستم عامل سطح بالاست امکان اتصال مستقیم مژول لورا به آن وجود ندارد بنابراین داده‌ها توسط برد کمکی و به وسیله‌ی مژول لورا دریافت شده و این داده‌ها به صورت تجمیع شده به Raspberry به صورت سریال ارسال می‌شود.

## ۳- ملاحظات کلی طرح

### ۳-۱- برنامه‌نویسی رایانه کوچک گذرگاه

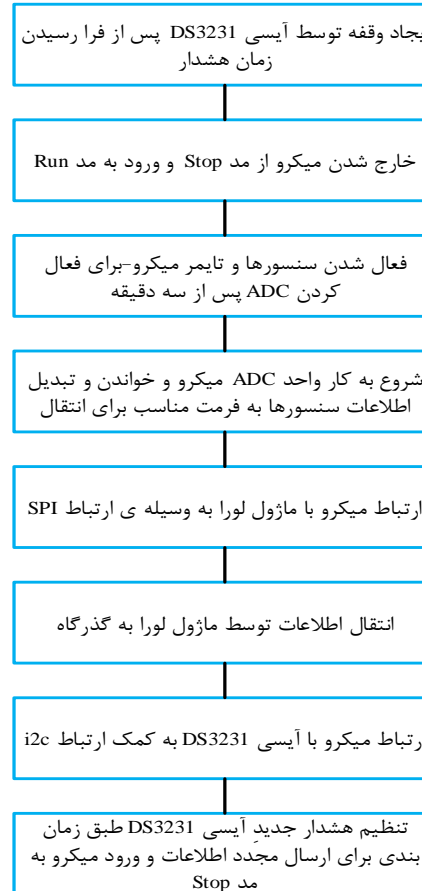
در بخش گذرگاه از Raspberry pi 3 B+ که دارای پردازنده Broadcom BCM2837B0، Cortex-A53 (ARMv8) 64-bit

بخش‌های جانبی فراهم شود. فرکانس واحد ADC با توجه به عدم نیاز به سرعت بالای این واحد ۵۰۰ KHz تعیین شده است. شکل (۵) نحوه عملکرد کلی برنامه‌ی نوشته شده برای میکروی STM32 را نشان می‌دهد.

برنامه دستگاه انتهاهایی به زبان C++ نوشته شده است. این برنامه شامل فعال‌سازی ارتباط SPI و I2C به ترتیب برای ارتباط با ماژول لورا و تراشه DS3231SN است. فرکانس کاری میکرو ۱۶ مگاهرتز تعیین شده است. فرکانس میکرو به گونه‌ای تعیین شده است که توان مصرفی بالا نبوده و سرعت مناسب در ارتباط با



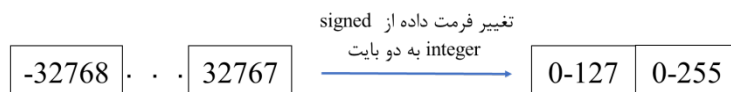
شکل (۴). نحوه عملکرد کلی دستگاه انتهاهایی



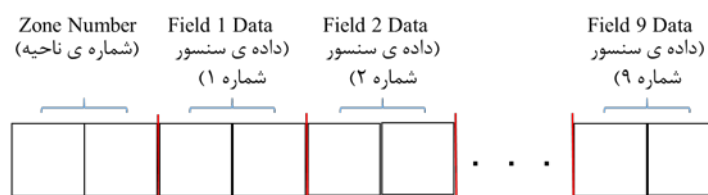
شکل (۵). نحوه عملکرد کلی برنامه‌ی نوشته شده برای میکروی STM32

شکل (۶) به صورت شکل (۷) به کمک مازول لورا انتقال داده می‌شوند. شکل‌های (۸) و (۹) نحوی عملکرد بخش‌های مرتبط با Alarm1 و Alarm2 از برنامه میکروکنترلر را نشان می‌دهند.

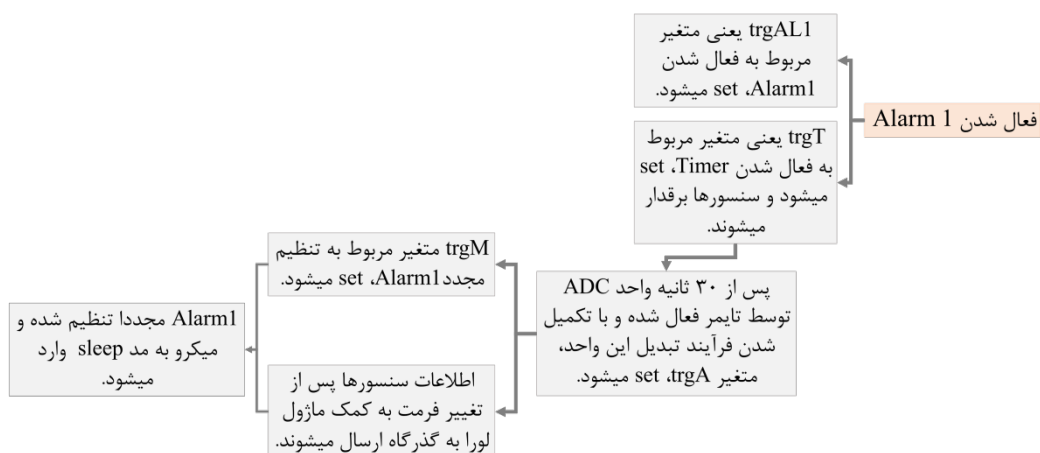
با توجه به اینکه دستگاه انتهایی قابلیت اتصال ۹ سنسور را دارد، تعداد کل داده‌های ارسالی توسط دستگاه انتهایی به همراه شماره‌ی ناحیه این دستگاه، برابر با ۱۰ است. داده‌ها پس از تغییر فرمت از حالت signed integer به فرمت Byte (مطابق



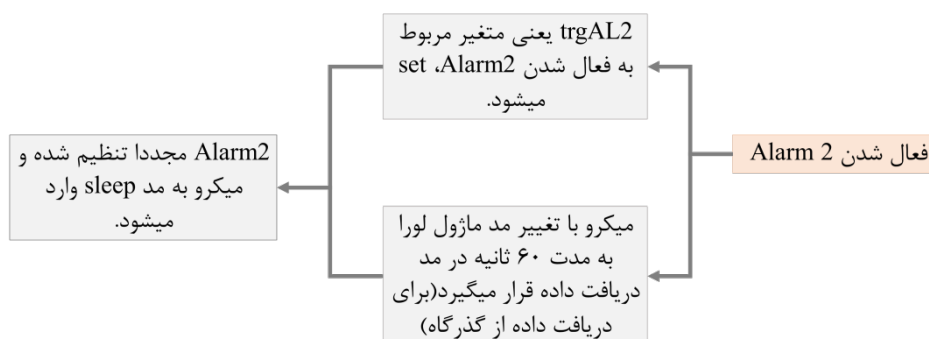
شکل (۶). تغییر فرمت داده از حالت signed integer به فرمت Byte



شکل (۷). فرمت داده‌ها برای ارسال به کمک مازول لورا



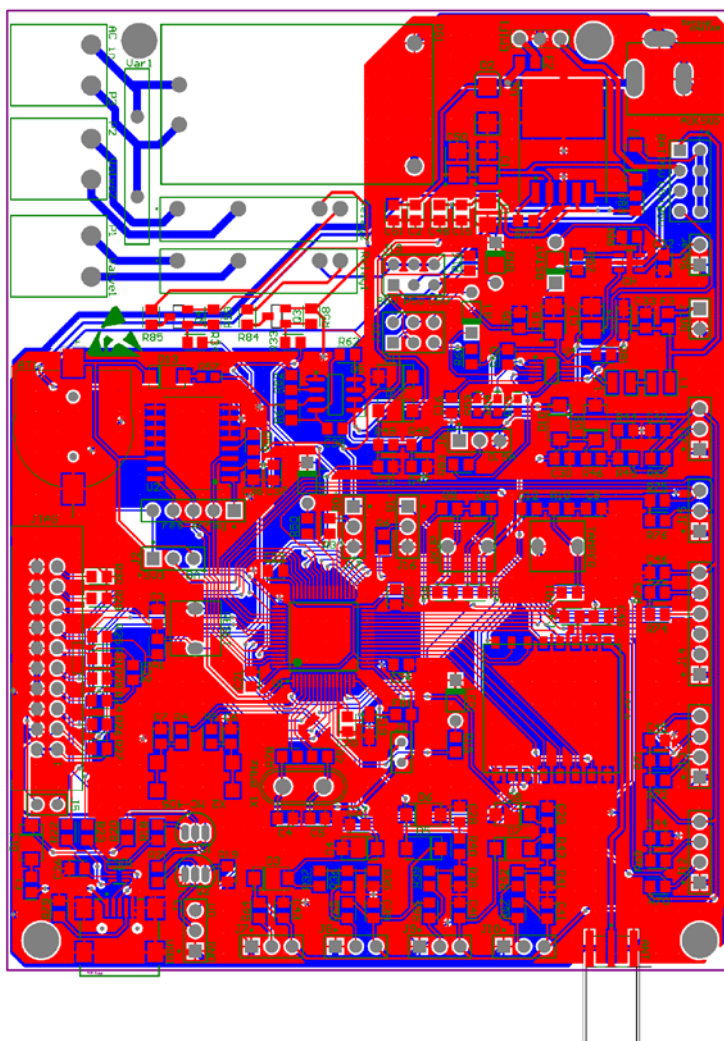
شکل (۸). نحوه عملکرد بخش مرتبط با Alarm1 برنامه میکروکنترلر



شکل (۹). نحوه عملکرد بخش مرتبط با Alarm2 برنامه میکروکنترلر

روودی برق USB، باتری و آداپتور قرار داده شده‌اند و هم‌چنین دیودهای حفاظت اضافه ولتاژ نیز در این ورودی‌ها به کار رفته‌اند. در طراحی برد چاپی حداقل قطر سیم  $0.2 \text{ mm}$  و حداقل قطر سوراخ Via  $0.3 \text{ mm}$  در نظر گرفته شده است. برد دو لایه متالیزه با صفحه زمین در هر دو لایه طراحی شده است. شکل (۱۰) برد چاپی دستگاه انتهایی در نرم‌افزار Altium را نشان می‌دهد.

طراحی برد دستگاه در محیط نرمافزار Altium designer انجام شده و پس از چاپ برد و مونتاژ قطعات، برد موردنظر موردنظر آزمایش قرار گرفته است. در این برد از قطعات smd استفاده شده است تا ابعاد برد و هزینه‌ی قطعات مصرفی کاهش یابد. این برد امکان تغذیه از طریق برق شهر، آداپتور، باتری و ورودی USB را دارد. باتری سکه‌ای توان مورد نیاز تراشه‌ی ساعت را برای حفظ تاریخ و ساعت تامین می‌کند. فیوزهای برگشت‌پذیر در

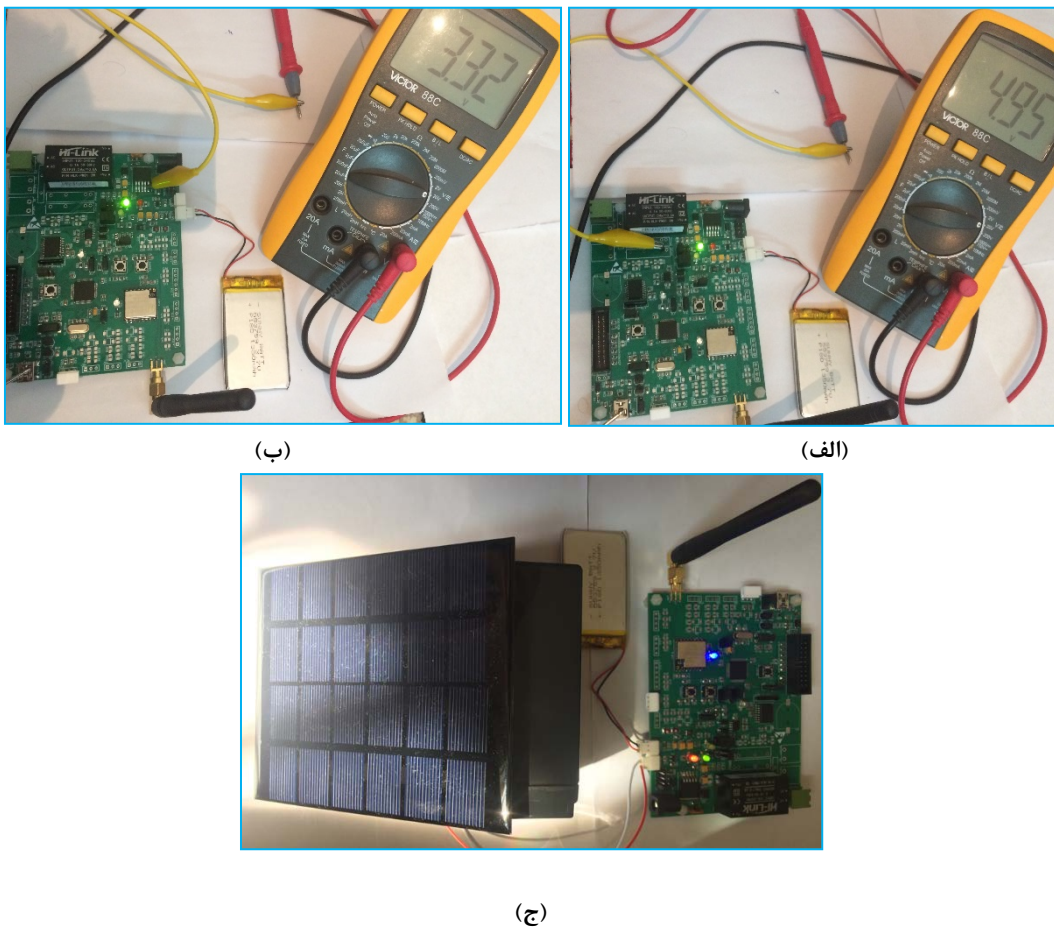


شکل (۱۰). برد چاپی دستگاه انتهاهای در نرم افزار Altium

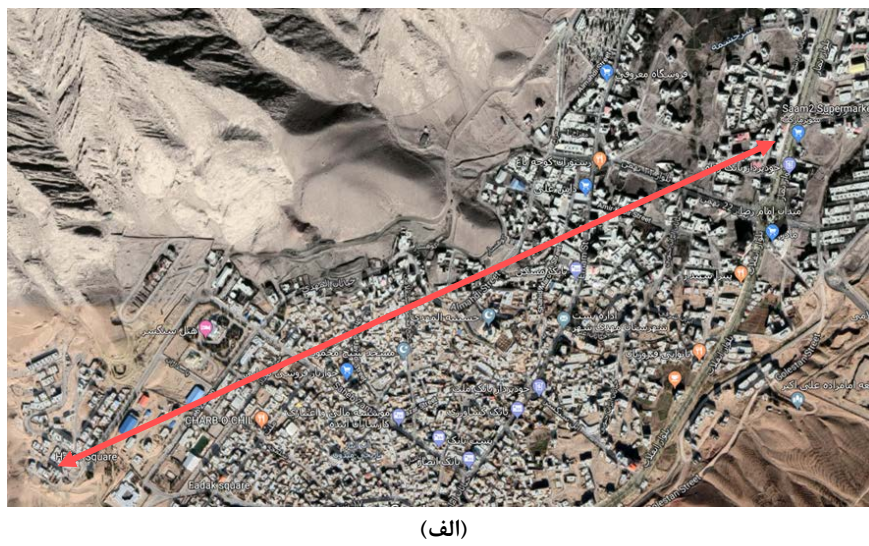
هشدار تراشه DS3231 و فرآیند تغییر مد کاری میکرو از مد sleep به مد run و برعکس و ارسال داده توسط مژاول لورا با موفقیت بررسی و تست شد. حداکثر برد عملیاتی دستگاه انتهایی در محیط شهری با توجه به محل آزمایش که در شکل (۱۲) (الف) نشان داده شده است، بیش از ۲۰۰۰ متر پرآورد شد.

۴-آزمایش مدار دستگاه انتها یی

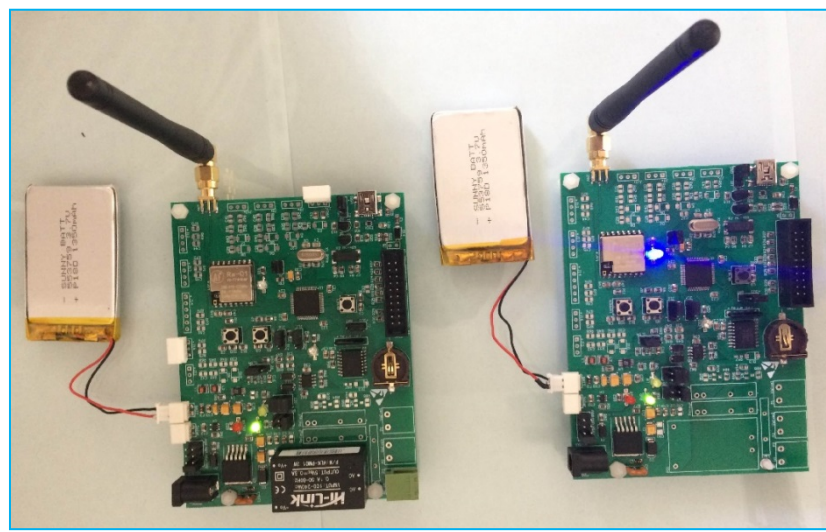
شکل (۱۱) آزمایش بخش تغذیه مدار دستگاه انتهایی را نشان می‌دهد، که شکل‌های الف، ب و ج به ترتیب نشان‌دهنده‌ی ولتاژ خروجی تراشه‌های MAX1676 و LT1764 و اتصال سلول خورشیدی به ورودی تراشه‌ی MCP73831 است. فرآیند تنظیم



شکل (۱۱). (الف) و (ب) و (ج) تست قسمت تغذیه مدار دستگاه انتهاي (الف) تست تراشه LT1764A  
 (ب) تست تراشه MCP73831 (ج) تست تراشه max1676



ادامه شکل (۱۲). (الف) و (ب) تست حداقل برد عملیاتی دستگاه انتهاي



(ب)

شکل (۱۲). (الف) و (ب) تست حداکثر برد عملیاتی دستگاه انتهاپی

اطلاعات سنسورها قابل مشاهده است. امکان ارسال فرمان به عملگرها و تغییر متغیرهای کنترل نیز از صفحه پارامترهای کنترل امکان‌پذیر است. به وسیله این وبسرویس اطلاعات سنسورها از هر کجای جهان قابل دسترسی است.

#### ۵- آزمایش عملکرد سامانه

شکل‌های (۱۳)، (۱۴) و (۱۵) بخش‌های مختلف وبسرویس را نشان می‌دهند. کاربر admin توانایی ایجاد صفحه و حذف و پنهان کردن صفحات ایجاد شده را از داخل خود وبسرویس دارا است اما سایر کاربران این امکان را نخواهند داشت. در صفحه کاربری



شکل (۱۳). صفحه اصلی وبسرویس



شکل (۱۴). صفحه اصلی وبسرویس پس از ورود

در این صفحه متغیرهای کنترل قابل مشاهده و تغییر اند:

نام	#
شیر برقی	1
کنترل خودکار فرآیند	2
تعداد دستگاه‌های انتسابی	3
فاصله زمانی ارسال اطلاعات از دستگاه انتسابی به گذرگاه	4
فاصله زمانی ارسال بودن دستگاه انتسابی برای دریافت اطلاعات از گذرگاه	5

شماره	نام زمینه‌ی عملکرد سنسور	ضریب تبدیل	واحد
1	Battery_Voltage	0.00137	Volt
6	Soil_Moisture	0.01	Percent
2	Soil_Temp	0.01	C°

ذخیره کردن
تعداد دستگاه‌های انتسابی:

فاصله زمانی ارسال به گذرگاه:

ساعت
ذخیره کردن
خودکار بودن فرآیند آبیاری:

(الف)

فعال شدن شیر برقی:

ذخیره کردن

<input type="text" value="name"/>	:field name
<input type="text" value="number"/>	:field number
<input type="text" value="coefficient"/>	:field coefficient
<input type="text" value="unit"/>	: واحد

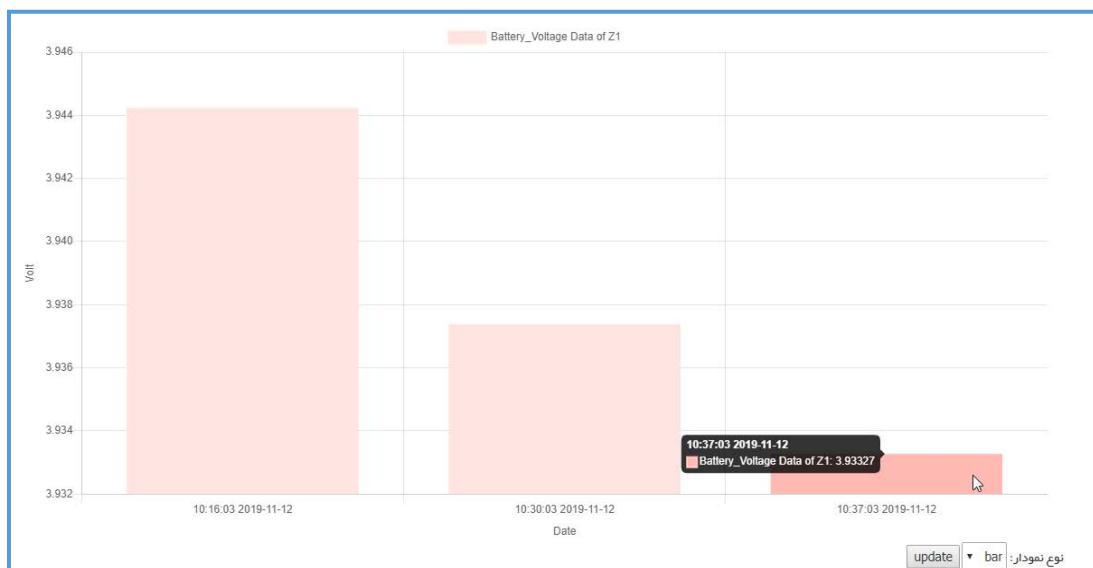
ذخیره کردن

(ب)

شکل (۱۵). (الف) و (ب) صفحه‌ی متغیرهای کنترل

در اینجا طبق زمان‌بندی، ارسال داده از دستگاه انتسابی به گذرگاه صورت می‌گیرد. گذرگاه نیز اطلاعات سنسورها را به سرور ارسال می‌نماید. مطابق شکل (۱۶) مشاهده می‌شود که به عنوان نمونه اطلاعات ولتاژ باتری دستگاه انتسابی ناحیه ۱ در بازه‌ی زمانی مورد نظر به درستی انتقال داده شده است.

پایگاه داده‌ی مورد استفاده MySQL است که تمامی اطلاعات کاربران و داده‌های سنسورها در این پایگاه داده ذخیره می‌شود. اطلاعات سنسورها پس از انتقال آن توسط گذرگاه به وب‌سرویس، در این پایگاه داده ذخیره شده و در صفحه کاربری نمایش داده می‌شوند.



شکل (۱۶). ولتاژ باتری دستگاه انتهایی ناحیه ۱

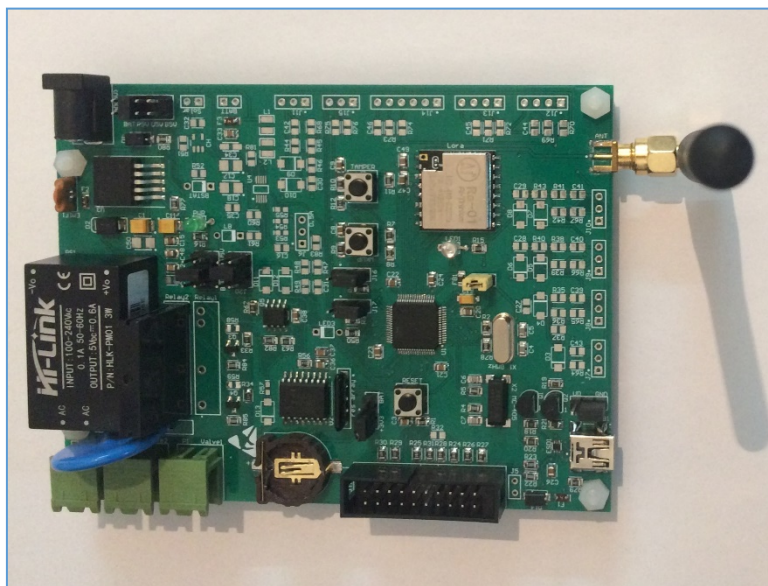
تغییر می‌یابد و در صورتی که پاسخ از عملگر دریافت شود قسمت وضعیت به رنگ سبز تغییر می‌یابد(شکل‌های (۱۷) و (۱۸)). شکل (۱۹) نیز برد متصل به عملگر را نشان می‌دهد.

در صفحه‌ی متغیرهای کنترل برنامه به گونه‌ای نوشته شده است که وقتی کنترل خودکار فرآیند فعال باشد امکان تغییر در وضعیت عملگر توسط کاربر وجود نداشته باشد. هنگامی که در سرور وضعیت عملگر تغییر کند قسمت وضعیت به رنگ نارنجی

شکل (۱۷). قسمت وضعیت شیر برقی هنگامی که توسط کاربر فرمان فعال داده شده است.

#	نام
۱	شیر برقی
۲	کنترل خودکار فرآیند
۳	تعداد دستگاه‌های انتهایی
۴	فاصله‌ی زمانی ارسال اطلاعات از دستگاه انتهایی به گذرگاه
۵	فاصله‌ی زمانی فعال بودن دستگاه انتهایی برای دریافت اطلاعات از گذرگاه

شکل (۱۸). قسمت وضعیت شیر برقی پس از دریافت پاسخ از سمت عملگر



شکل (۱۹). برد متصل به عملگر

بخش گذرگاه \$61، بخش متصل به عملگر \$22.1 و بخش دستگاه انتهایی با پنل خورشیدی و باتری \$30.71 برآورد می‌شود. با توجه به نیاز منطقه مورد نظر ممکن است تعداد یک یا چند دستگاه انتهایی مورد استفاده قرار گیرد.

## ۶- محاسبه‌ی هزینه‌ی سامانه کنترل آبیاری

جدول (۴) لیست قیمت کلیه قطعات به کار رفته به دلار را نشان می‌دهد. قیمت هر بخش از سامانه با توجه به قطعه به کار رفته و تعداد آن به دست می‌آید. با توجه به جدول، هزینه‌ی تمام شده

جدول (۴). لیست قیمت قطعات به کار رفته در سامانه

توضیحات	قیمت	توضیحات	قیمت
Raspberry pi 3 B+	39.95\$	Coin Cell Holder	0.15\$
pcb per cm	0.024\$	3mm LED	0.025\$
Lora ra-01	4.3\$	10uH 2520 inductor	0.066\$
STM32F103RET6	1.45\$	G3MB202P	0.85\$
DS3231	0.65\$	10UF 25V Tantal	0.185\$
Power Jack	0.075\$	22UF 10V Tantal	0.133\$
SMA Connector	0.163\$	100UF 10V Tantal	0.3\$
MCP73831	0.093\$	47UF 10V Tantal	0.185\$
IRF7317	0.146\$	4.7UF 16V Tantal	0.15\$
BC847	0.1\$	100nF ceramic	0.0094\$
SS9013	0.01\$	22nF ceramic	0.0094\$
HLK-PM01	3\$	20PF ceramic	0.0094\$
LT1764AEQ	3.1\$	10PF ceramic	0.0094\$
MAX1676	0.43\$	1uF ceramic	0.052\$
ZOV-20D391K	0.33\$	4.7uF ceramic	0.052\$
8MHZ Crystal	0.1\$	0805 Resistor	0.0059\$
ECS-61-32-7S Crystal	1.045\$	Resistor array	0.04\$
SMBJ5A	0.085\$	2 pin connector	0.0124\$
SM5822	0.02\$	3 pin connector	0.0185\$
SS14	0.015\$	4 pin connector	0.0246\$
D4148	0.004\$	6 pin connector	0.037\$
USBLC6	0.073\$	433MHZ Antenna	0.6625\$
DSS6NC52A102	1.1\$	6V 2A solar cell	3.58\$
EBMS201209 Ferrite	0.045\$	1350mAh Li-Po BATT	3.33\$



شکل (۲۰). تست و بهره‌برداری سامانه در محیط واقعی

اینترنت صورت می‌گیرد و دریافت فرمان از ناحیه‌ی عملگر بررسی می‌شود. دستگاه انتهایی بسیار کم مصرف است و امکان تغذیه از طریق باتری و پنل خورشیدی را دارد. سامانه طراحی شده کم هزینه و دارای بردی متراکم از قطعات smd برای کاهش فضای مصرفی و کاهش قیمت تمام شده است. نرخ ارسال داده مبتنی بر پروتکل لایه فیزیکی Lora ۲۷ kb/s است. احتمال خطای بیت در فاصله ۲ km برابر با ۰/۰۰۰۱ است و تبادل داده‌ها بین گذرگاه و نود به صورت کدگذاری شده با شروع و پایان مشخص است که احتمال دریافت داده‌ی اشتباہ را به میزان زیادی کاهش می‌دهد. سامانه به گونه‌ایست که نودهای غیر فعال شناسایی شده و در وبسروریس قابل مشاهده‌اند. همچنین گذرگاه دارای سیستم عامل لینوکس است که امکان توسعه سامانه، افزودن قابلیت‌های جدید و عملکرد محلی بدون نیاز به وبسروریس و امکان ایجاد وبسروریس بر روی گذرگاه را فراهم می‌کند. وبسروریس نیز به گونه‌ای طراحی شده که امکان خودکار بودن فرآیند آبیاری بر اساس زمان بندی ساعتی، روزانه و فصلی و همچنین بر اساس شرایط محیطی با قابلیت تنظیم پارامترها فراهم است. این سامانه به طور کامل طراحی و ساخته شده و در محیط واقعی مورد آزمایش قرار گرفته است.

## ۹- منابع

- [1] KELLY, S. D. T., SURYADEVARA, N. K. & MUKHOPADHYAY, S. C. 2013. Towards the implementation of IoT for environmental condition monitoring in homes. *IEEE Sensors Journal*, 13, 3846-3853.

## ۷- محل تست و ساخت سامانه

سامانه در محل هلدینگ فناوری اطلاعات سماوات ساخته شده و در یک زمین کشاورزی در استان سمنان شهر شهرمیرزاد به طور کامل مورد آزمایش و بهره‌برداری قرار گرفته و فیلم‌ها و مستندات آن تهیه شده است. در آزمایش پاییش و ثبت اطلاعات سنسورها در وبسروریس، ارسال فرمان به صورت اتوماتیک بر اساس میزان رطوبت زمین، دمای محیط و سایر شرایط آب و هوا، ارسال فرمان به صورت دستی و قطع و وصل شیر برقی توسط نود عملگر به طور کامل تست شده است.

## ۸- نتیجه‌گیری

در این مقاله یک سامانه آبیاری هوشمند ارزان قیمت مبتنی بر اینترنت اشیاء و با برد بیش از ۲ کیلومتر بیشتر سامانه‌های آبیاری هوشمندی که اکنون در کشور موجود است متمرکز بوده و قابلیت اتصال به دستگاه‌های پرآکنده در زمین را ندارند (مانند OVIQ، محصولات شرکت فناوران صنعت رباتیک و خانه هوشمند آسانه). همچنین سیستم‌های مشابه موجود دارای یک گذرگاه مبتنی بر سیستم عامل نیستند و امکان دسترسی محلی به اطلاعات از طریق گذرگاه، تعیین تعداد نودهای و فرآیند خودکار آبیاری بر اساس شرایط فصلی و محیطی را ندارند. در سامانه ساخته شده اطلاعات سنسورها در وبسروریس قابل مشاهده است و امکان اتصال بیش از ۶۰ دستگاه انتهایی به گذرگاه وجود دارد. ارسال فرمان از طریق

- [5] SANCHEZ, L., MUÑOZ, L., GALACHE, J. A., SOTRES, P., SANTANA, J. R., GUTIERREZ, V., RAMDHANY, R., GLUHAK, A., KRCO, S. & THEODORIDIS, E. 2014. SmartSantander: IoT experimentation over a smart city testbed. *Computer Networks*, 61, 217-238.
- [6] ZHU, Q., WANG, R., CHEN, Q., LIU, Y. & QIN, W. IoT gateway: Bridging wireless sensor networks into internet of things. *Embedded and Ubiquitous Computing (EUC)*, 2010 IEEE/IFIP 8th International Conference on, 2010. Ieee, 347-352.
- [2] MASABA, K., NTAKIRUTIMANA, A. & USTUN, T. S. 2016. Design and implementation of a smart irrigation system for improved water-energy efficiency.
- [3] RAJALAKSHMI, P. & MAHALAKSHMI, S. D. IoT based crop-field monitoring and irrigation automation. *Intelligent Systems and Control (ISCO)*, 2016. 16th International Conference on, 2016. IEEE, 1-6.
- [4] ROBLES, T., ALCARRIA, R., DE ANDRÉS, D. M., NAVARRO, M., CALERO, R., IGLESIAS, S. & LÓPEZ, M. 2015. An IoT based reference architecture for smart water management processes. *JoWUA*, 6, 4-23.